

UNIVERSIDADE DO MINHO
**Mestrado Integrado em Engenharia
Informática**
Computação Gráfica

TRABALHO PRÁTICO: 3^o FASE

Curvas, Superfícies Cúbicas e VBOs

Grupo 3:

Ricardo Silva — 60995

Bruno Pereira — 72628

Braga, 1 de Maio de 2017



Conteúdo

Introdução	4
1 Gerador	5
1.1 Esfera	5
1.1.1 Análise do Problema	5
1.1.2 Diagrama	6
1.2 Disco	10
1.2.1 Análise do Problema	10
2 Motor	15
2.1 Estruturas de Dados	15
2.2 Descrição do processo de leitura	18
2.3 Descrição do ciclo de <i>rendering</i>	21
3 Resultados	23
4 Bezier	26
5 Splines Catmull-Rom	30
Conclusão	32
ANEXOS	34
A Modelo do Sistema Solar	34



Lista de Figuras

1	Objetivo do algoritmo de construção de esfera	6
2	Diagrama de representativo de construção de esfera	6
3	Diagrama de construção de esfera, com eixos, ordem do vértices e ângulos	7
4	Esfera gerada	8
5	Diagrama Disco	11
6	Pormenor dos vértices para desenho de um disco	12
7	Resultado de um disco em <i>wireframe</i> , visto de baixo	13
8	Resultado de um disco em <i>wireframe</i> , visto de outro ângulo	13
9	Árvore <i>n-ária</i> para armazenamento de grupos	16
10	Hieraquia de classes de transformações geométricas	17
11	Diagrama representativo da recursividade do processo de leitura	20
12	<i>Rendering</i> do modelo com foco do grupo de planetas terrestres e Lua	24
13	<i>Rendering</i> do modelo com foco no <i>tilt</i> axial de Urano e Neptuno	24
14	<i>Rendering</i> do modelo final	25
15	Algoritmo geométrico casteljou.png	26
16	Representação da árvore casteljeau	26
17	Curvas exemplo de Bezier	27
18	Superfície de Bezier bicúbica	28
19	Spline Catmull-Rom para os pontos $P_0, P_1, P_2 e P_3$	30



Lista de Algoritmos

1	Esfera	9
2	Disco	14
3	Função Principal Leitura	18
4	Função de travessia da árvore de Group	22
5	Função de <i>rendering</i> dos pontos	22



Introdução

Para este projeto é requerido que se criem cenas hierárquicas com transformações geométricas descritas num ficheiro XML. Cada cena é uma árvore onde cada nodo contém um conjunto de transformações geométricas e conjuntos de modelos com os nomes de ficheiros onde estão vértices para a criação da cena. O resultado final é *renderização* de um modelo do sistema solar.

Adicionalmente, os objetivos passam por criar uma função de leitura dos dados a partir de ficheiros, com a criação de uma estrutura ou estruturas de estruturas para armazenamento dos dados, sendo este processo feito apenas uma vez. Também é necessário definir primitivas gráficas e um processo de leitura das estruturas para ser incluído no processo de *rendering*.

Este relatório está dividido em duas secções: a secção que documenta o processo de criação e programação de algoritmos para criação de objetos para o sistema solar, no programa *Engine*, e uma segunda secção que documenta o processo de leitura dos dados gerados pelo primeiro programa, estrutura utilizadas para guardar esse dados, e processo de *rendering* iterando sobre as estruturas de dados e aplicando transformações, de forma a construir o sistema solar.



1 Gerador

O `Generator` tem, como função, recebendo parâmetros como comprimento, largura, raio, etc., gerar ficheiros de texto com a extensão `.3d`, cujo conteúdo é a informação sobre as figuras a criar.

Nesta secção ir-se-á descrever o processo de desenvolvimento das figuras necessárias do sistema solar. As figuras pertinentes a desenhar são a esfera (para os planetas e sol) e um disco (para alguns planetas que os tenham, como por exemplo Saturno).

1.1 Esfera

1.1.1 Análise do Problema

Para a construção da esfera teve-se que ter em conta coordenadas esféricas modificadas para o referencial rodado com Y para cima, Z como eixo das abcissas e X como eixo das ordenadas, como demonstra a Equação 1.

$$\begin{cases} x = \cos(\phi) * \sin(\theta) * \rho \\ y = \sin(\phi) * \rho \\ z = \cos(\phi) * \cos(\theta) * \rho \end{cases} \quad (1)$$

Na Equação 1, ρ representa o raio, ϕ o ângulo polar sendo $\phi \in [-\frac{\pi}{2}, \frac{\pi}{2}]$, θ representa o ângulo azimutal sendo $\theta \in [0, 2\pi]$.

1.1.2 Diagrama

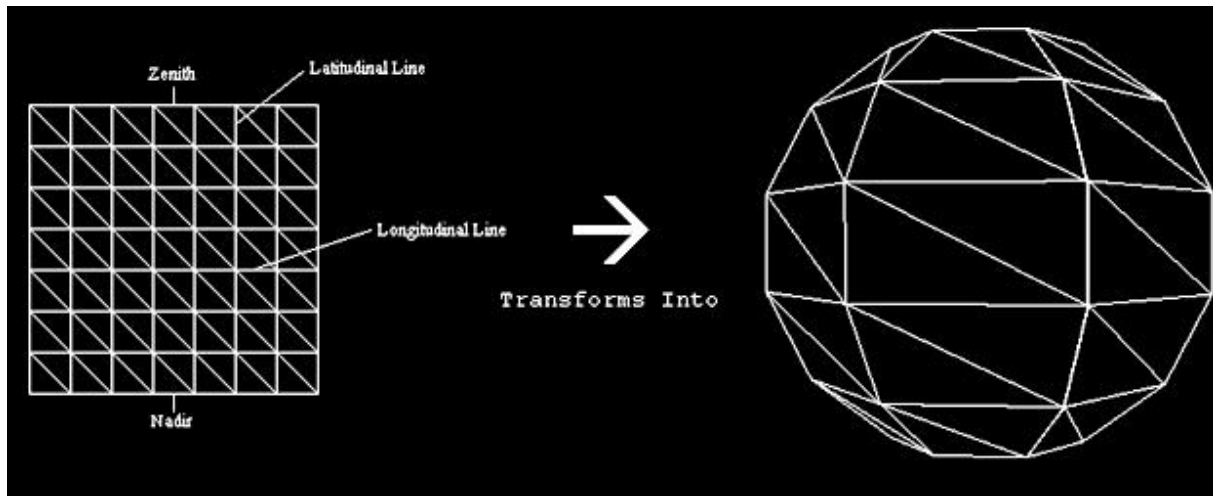


Figura 1: Objetivo do algoritmo de construção de esfera

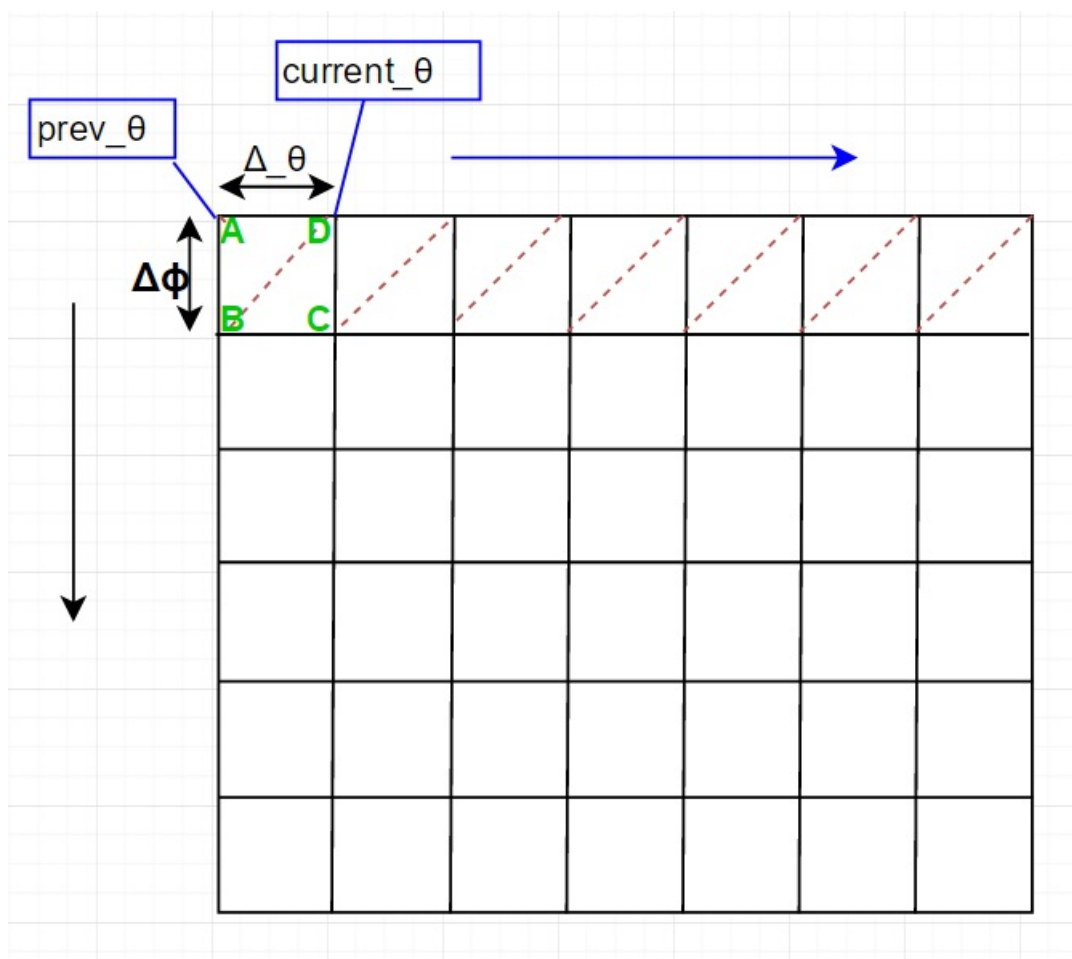


Figura 2: Diagrama de representativo de construção de esfera

No *Figura 2* pode-se ver uma matriz, que representa a esfera nos graus de ϕ e θ para

6 *stacks* e 7 *slices*. Assim como um mapa representativo da Terra, pretende-se mostrar os pontos se a esfera fosse aplanada (ver *Figura 19*).

Em cada quadricula são calculados 4 pontos iniciais, com base nos cálculos apresentados pelo fórmula anterior. Note-se que, se usou duas variáveis para guardar o ϕ anterior e o ϕ corrente, e θ anterior e θ corrente. Adicionalmente é calculada a diferença de graus entre *slices* e *stacks*, representados por $\Delta\phi$ e $\Delta\theta$, respetivamente.

A intenção é calcular cada quadricula para cada linha e coluna, com auxílio das diferenças dos ângulos e à medida que se avança em cada quadricula, guardar o último grau calculado (ϕ e θ) e calcular nos pontos com o incremento nestes ângulos. Assim desloca-se para a direita na matriz, conforme θ avança de 0 para 2π e para baixo, conforme ϕ avança de $\frac{\pi}{2}$ para $-\frac{\pi}{2}$ (sentido dos ponteiros do relógio). O *Algoritmo 1* representa este processo e a *Figura 3* demonstra o que se mencionou.

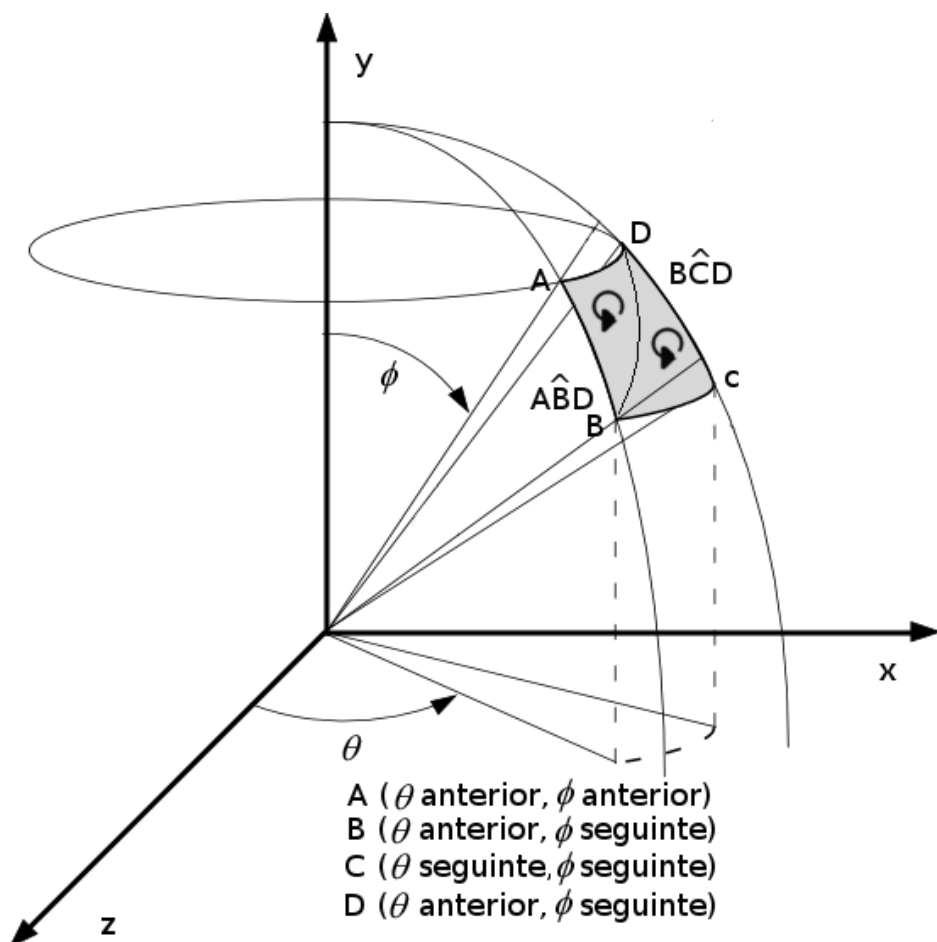


Figura 3: Diagrama de construção de esfera, com eixos, ordem do vértices e ângulos

O resultado pode-se ver na *Figura 4*, que demonstra uma esfera em *wireframe* gerada com a aplicação.

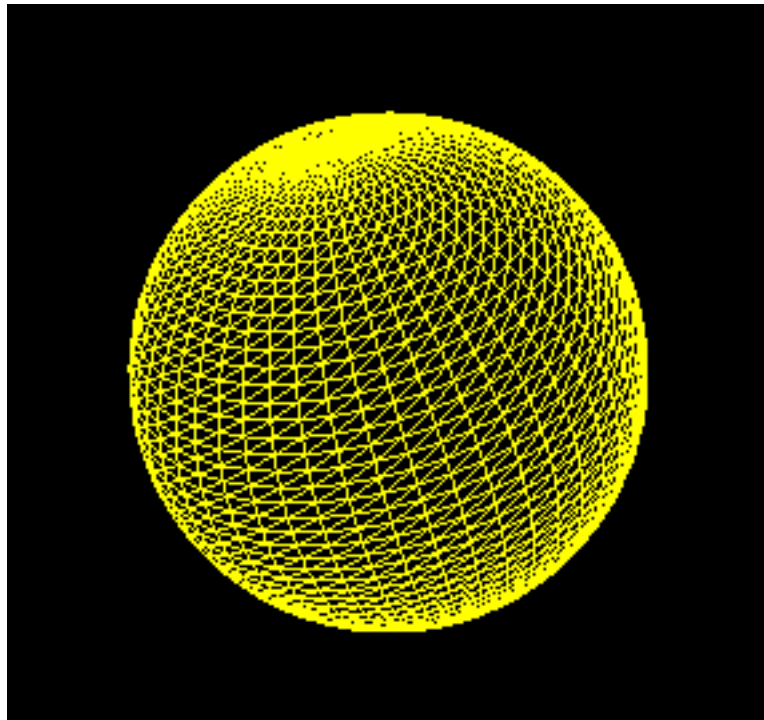


Figura 4: Esfera gerada

Algoritmo 1 Esfera

```
1:  $\Delta_\theta \leftarrow \frac{2\pi}{slices}$ 
2:  $\Delta_\phi \leftarrow \frac{2\pi}{stacks}$ 
3:  $prev_\phi \leftarrow \frac{\pi}{2}$ 
4:  $current_\phi \leftarrow prev_\phi - \Delta_\phi$ 
5:  $i \leftarrow 0$ 
6: while  $i \leq stacks$  do
7:    $prev_\theta \leftarrow 0$ 
8:    $current_\theta \leftarrow \Delta_\theta$ 
9:    $j \leftarrow 0$ 
10:  while  $j \leq slices$  do
11:     $PontoA \leftarrow raio * \cos(prev_\phi) * \sin(prev_\theta), raio * \sin(prev_\phi), raio * \cos(prev_\phi) * \cos(prev_\theta)$ 
12:     $PontoB \leftarrow raio * \cos(current_\phi) * \sin(prev_\theta), raio * \sin(current_\phi), raio * \cos(current_\phi) * \cos(prev_\theta)$ 
13:     $PontoC \leftarrow raio * \cos(prev_\phi) * \sin(current_\theta), raio * \sin(prev_\phi), raio * \cos(prev_\phi) * \cos(current_\theta)$ 
14:     $PontoD \leftarrow raio * \cos(current_\phi) * \sin(current_\theta), raio * \sin(current_\phi), raio * \cos(current_\phi) * \cos(current_\theta)$ 

15:     $Triangulo(PontoA, PontoB, PontoD)$ 
16:     $Triangulo(PontoB, PontoC, PontoD)$ 

17:     $prev_\theta \leftarrow current_\theta$ 
18:     $current_\theta \leftarrow current_\theta + \Delta_\theta$ 

19:     $j \leftarrow j + 1$ 
20:     $prev_\phi \leftarrow Current_\phi$ 
21:     $current_\phi \leftarrow Current_\phi - \Delta_\phi$ 
22:     $i \leftarrow i + 1$ 
```

▷ Guardado em ficheiro

▷ Guardado em ficheiro



1.2 Disco

Nesta secção descreve os procedimentos usados para desenvolver um disco. A motivação para o desenvolvimento desta figura provém da necessidade de representar os anéis que rodeiam os planetas Saturno e Úrano.

1.2.1 Análise do Problema

Existem certos elementos do sistema solar, que são característicos de um modelo do mesmo: anéis e órbitas. Apesar do significado de ambos ser diferente, ambos podem ser desenhados com o mesmo objeto, variando apenas no raio interno e externo.

Com efeito, requer-se para este projeto que se criem discos de vários tamanhos para os anéis de Saturno e Neptuno, e para as órbitas de cada planeta. Note-se que cada anel tem que ter alguma espessura, uma vez que, num plano, no *OpenGL* não se consegue ver o objeto. Assim cada disco terá duas circunferências, uma interior e outra exterior, com raio interno e externo respetivamente. Assim, as duas circunferências têm os mesmos pontos xx e zz mas com uma distancia fixa no eixo yy .

A fórmula para desenhar uma circunferência está representada na *Equação 2*

$$\begin{cases} x = \sin(\theta) * r \\ z = \cos(\theta) * r \end{cases} \quad (2)$$

Nesta secção apresentam-se diagramas que explicam o processo de criação de uma disco.

A *Figura 5* representa a forma como a iteração será feita, bem como apresenta de lado a espessura do disco.

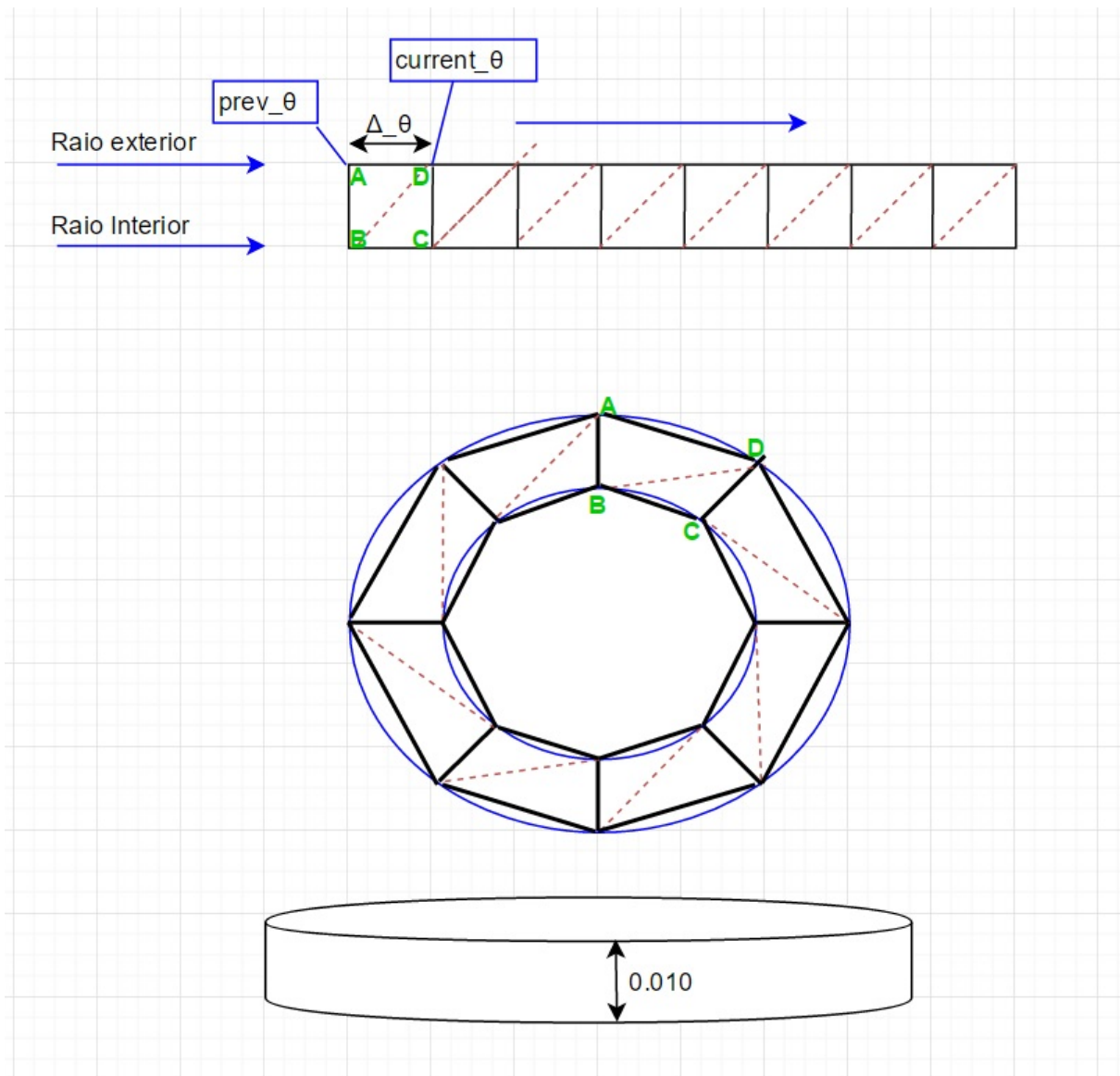


Figura 5: Diagrama Disco

Como se pode verificar o diagrama é relativamente semelhante ao da esfera. A matriz aqui observada apenas tem uma linha porque não se consideram *stacks* na representação do disco. As 8 colunas que representam as 8 *slices* (estas 8 slides servem meramente para propósitos exemplificativos).

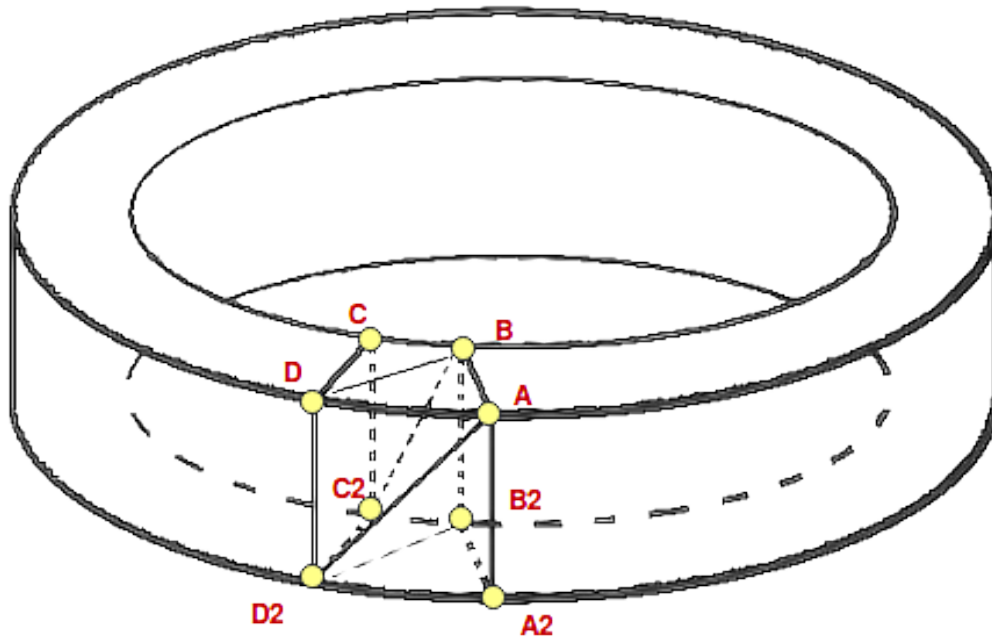


Figura 6: Pormenor dos vértices para desenho de um disco

Como se pode observar, o raciocínio é desenhar quadricula a quadricula com dois triângulos cada, neste exemplo verifica-se que a primeira quadricula é constituída pelos triângulos ABD e BCD. As coordenadas de cada ponto (vértice dos triângulos) são calculados com o auxílio das variáveis angulares $prev_θ$ e $current_θ$ usando a formulação das coordenadas esféricas. A diferença entre esta é o comprimento/largura da quadricula que corresponde a $\frac{2\pi}{slices}$.

Ora este processo é referente à face superior do disco. Para desenhar a face inferior faz-se o mesmo processo mas com outros vértices equivalentes nos eixos xx e zz mas com uma diferença fixa de 0.010 yy para representar a altura.

Quanto à face lateral do disco o processo é idêntico ao representado na matriz acima, mas enquanto que, para representar tanto a face superior como a inferior, os pontos usados têm todos o mesmo valor yy , para representar o lado do disco usa-se uma combinação dos pontos de ambas as faces.

Este processo está representado no *Algoritmo 2*, e um resultado figura na *Figura 7* e na *Figura 8*.

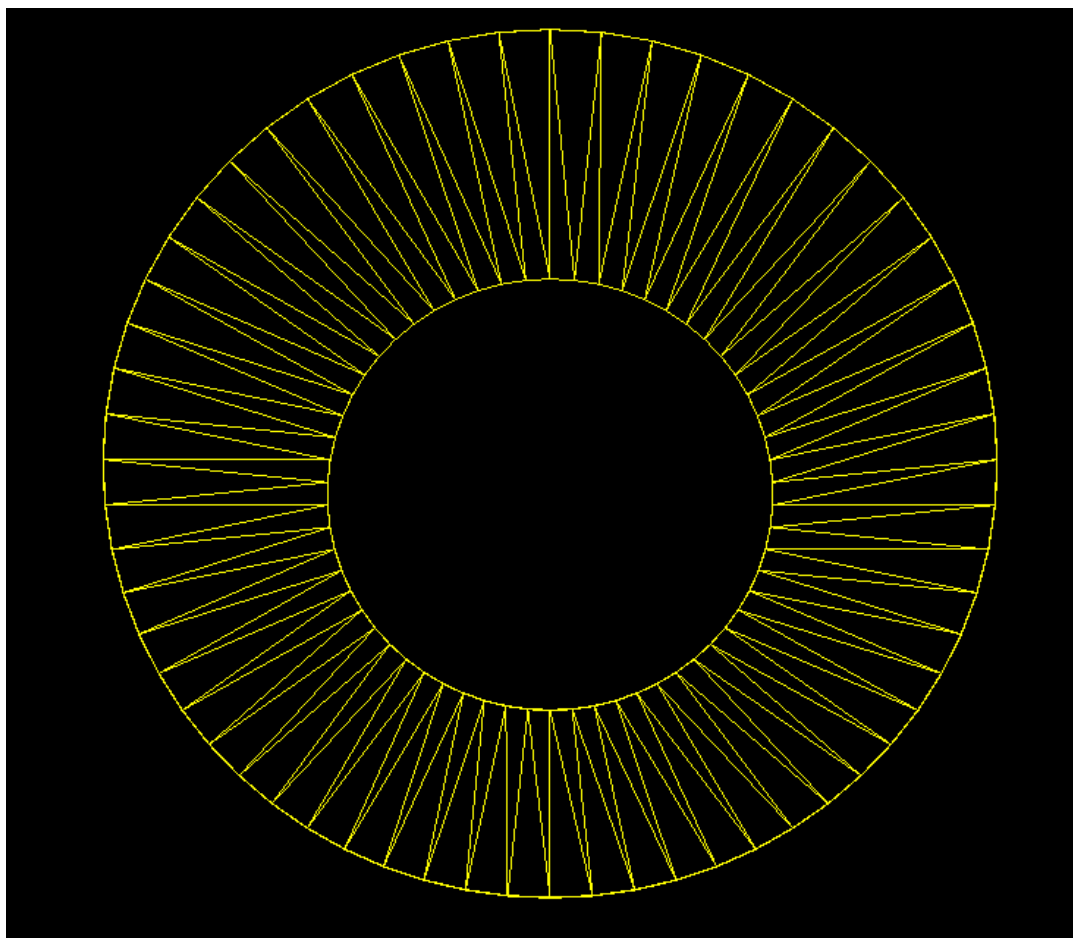


Figura 7: Resultado de um disco em *wireframe*, visto de baixo

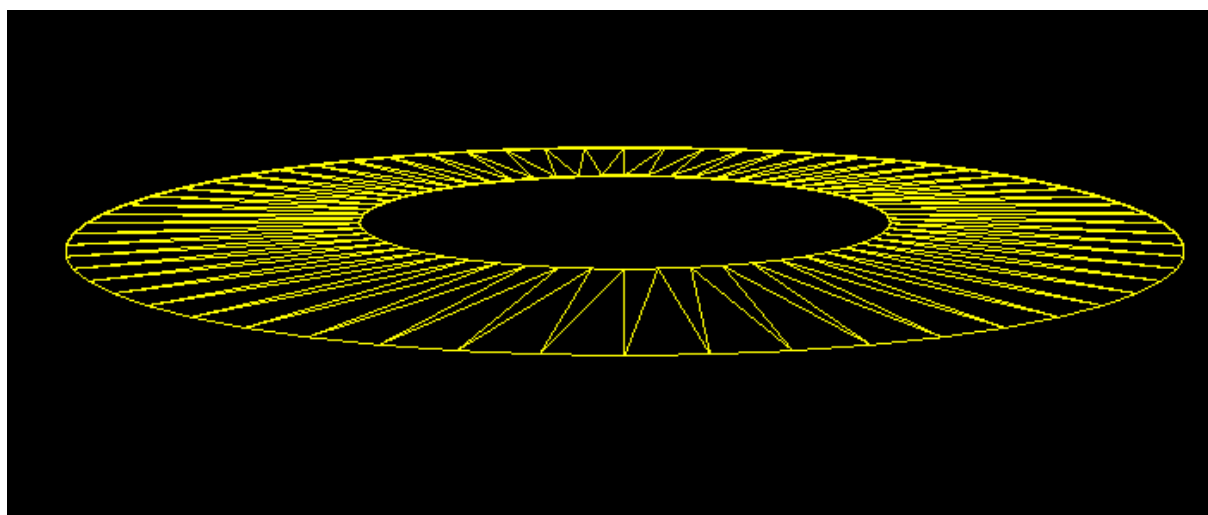


Figura 8: Resultado de um disco em *wireframe*, visto de outro ângulo

Algoritmo 2 Disco

```
1:  $\Delta_\theta \leftarrow \frac{2\pi}{slices}$ 
2:  $prev_\theta \leftarrow 0$ 
3:  $current_\theta \leftarrow \Delta_\theta$ 
4:  $i \leftarrow 0$ 
5: while  $i \leq slices$  do
6:    $PontoA \leftarrow raioOut * \sin(prev_\theta), 0.005, raioOut * \cos(prev_\theta)$ 
7:    $PontoB \leftarrow raioIn * \sin(prev_\theta), 0.005, raioIn * \cos(prev_\theta)$ 
8:    $PontoC \leftarrow raioIn * \sin(current_\theta), 0.005, raioIn * \cos(current_\theta)$ 
9:    $PontoD \leftarrow raioOut * \sin(current_\theta), 0.005, raioOut * \cos(current_\theta)$ 
10:   $PontoA2 \leftarrow raioOut * \sin(prev_\theta), -0.005, raioOut * \cos(prev_\theta)$ 
11:   $PontoB2 \leftarrow raioIn * \sin(prev_\theta), -0.005, raioIn * \cos(prev_\theta)$ 
12:   $PontoC2 \leftarrow raioIn * \sin(current_\theta), -0.005, raioIn * \cos(current_\theta)$ 
13:   $PontoD2 \leftarrow raioOut * \sin(current_\theta), -0.005, raioOut * \cos(current_\theta)$ 

14:   $Triangulo(PontoD, PontoB, PontoA)$ 
15:   $Triangulo(PontoC, PontoB, PontoD)$ 

16:   $Triangulo(PontoA2, PontoB2, PontoD2)$ 
17:   $Triangulo(PontoD2, PontoB2, PontoC2)$ 

18:   $Triangulo(PontoA2, PontoA, PontoD2)$ 
19:   $Triangulo(PontoD, PontoD2, PontoA)$ 

20:   $Triangulo(PontoB, PontoC2, PontoB2)$ 
21:   $Triangulo(PontoC, PontoC2, PontoB)$ 
22:   $prev_\theta \leftarrow current_\theta$ 
23:   $current_\theta \leftarrow current_\theta + \Delta_\theta$ 
24:   $i \leftarrow i + 1$ 
```

▷ Lado de cima

▷ Guardado em ficheiro

▷ Guardado em ficheiro

▷ Lado de baixo

▷ Guardado em ficheiro

▷ Guardado em ficheiro

▷ Lado de externo

▷ Guardado em ficheiro

▷ Guardado em ficheiro

▷ Lado de interno

▷ Guardado em ficheiro

▷ Guardado em ficheiro



2 Motor

Nesta secção pretende-se descrever três pontos essenciais desta fase: as estruturas de dados, algoritmos e processos de *rendering*.

2.1 Estruturas de Dados

Como a estrutura do ficheiro XML é uma árvore *n-ária* escolheu-se uma estrutura que se seguiu a mesma lógica. Assim construiu-se um tipo de dados, a partir de um *struct* com vários campos para guardar os valores de cada grupo, onde se encontra um vetor de apontadores para outras estruturas deste tipo `Group`, como se pode ver na *Figura 9*. Além do mais, a estrutura base possui um vetor de *strings* para guardar os nomes de modelos que se encontram descritos no ficheiro XML. Existe também, um outro vetor para guardar apontadores de objetos do tipo `Transformation`, que representa de forma genérica qualquer transformação geométrica.

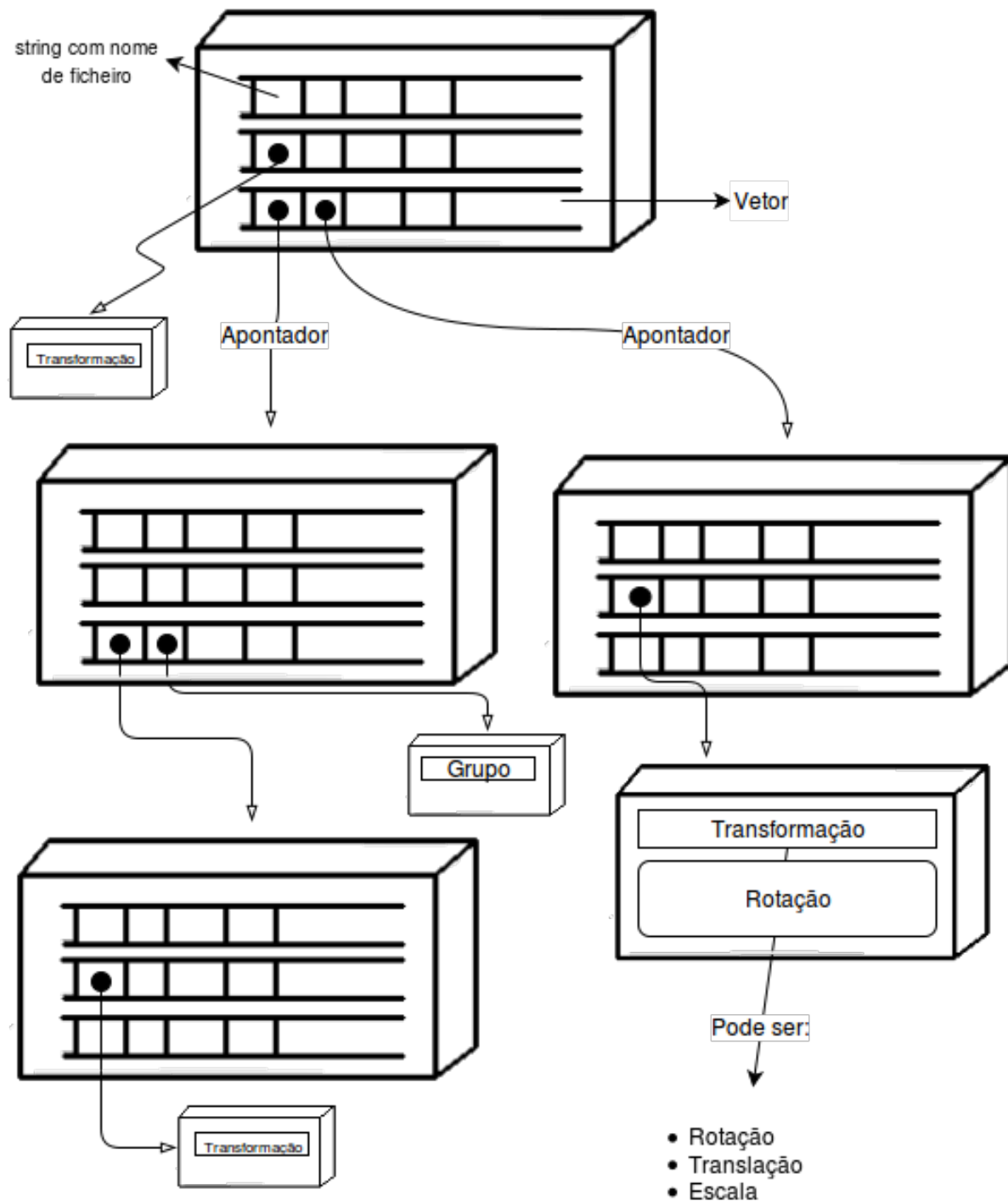


Figura 9: Árvore n -ária para armazenamento de grupos

Para a representação genérica de qualquer transformação geométrica, criou-se uma estrutura de classes, onde a classe *Transformation* funciona como superclasse abstrata, com três subclasses: *Rotation*, *Translation* e *Scale*. A superclasse possui um método virtual para aplicação da transformação (*applyTransformation*), que é aplicado no contexto das suas subclasses quando invocado diretamente, ou como parte da estrutura da hierarquia, à custa do



polimorfismo que a linguagem de programação C++ permite. Esta hierarquia pode ser vista com mais detalhe na *Figura 10*. Parte da estrutura de classes é a classe `Point3d` que representa um triplo de `doubles` para as coordenadas geométricas de um ponto em 3 dimensões. Adicionalmente a classe implementa alguns métodos para cálculos de pontos e vetores, embora o significado seja diferente entre estes dois conceitos.

Por último criou-se uma outra estrutura, em que se denominou o tipo `Modelos`, que é composta por um apontador para a raiz da árvore *n-ária* já mencionada, um vetor de `Triangles`, que possuirão os dados dos pontos a serem desenhados. A classe `Triangles` é composta por três `Point3d`, representando os três vértices de um triângulo. O uso daquele vetor é uma medida de eficiência em memória, uma vez que uma cena pode ser composta por objetos criados com o mesmo conjunto de pontos, sendo aplicadas transformações para o efeito desejado.

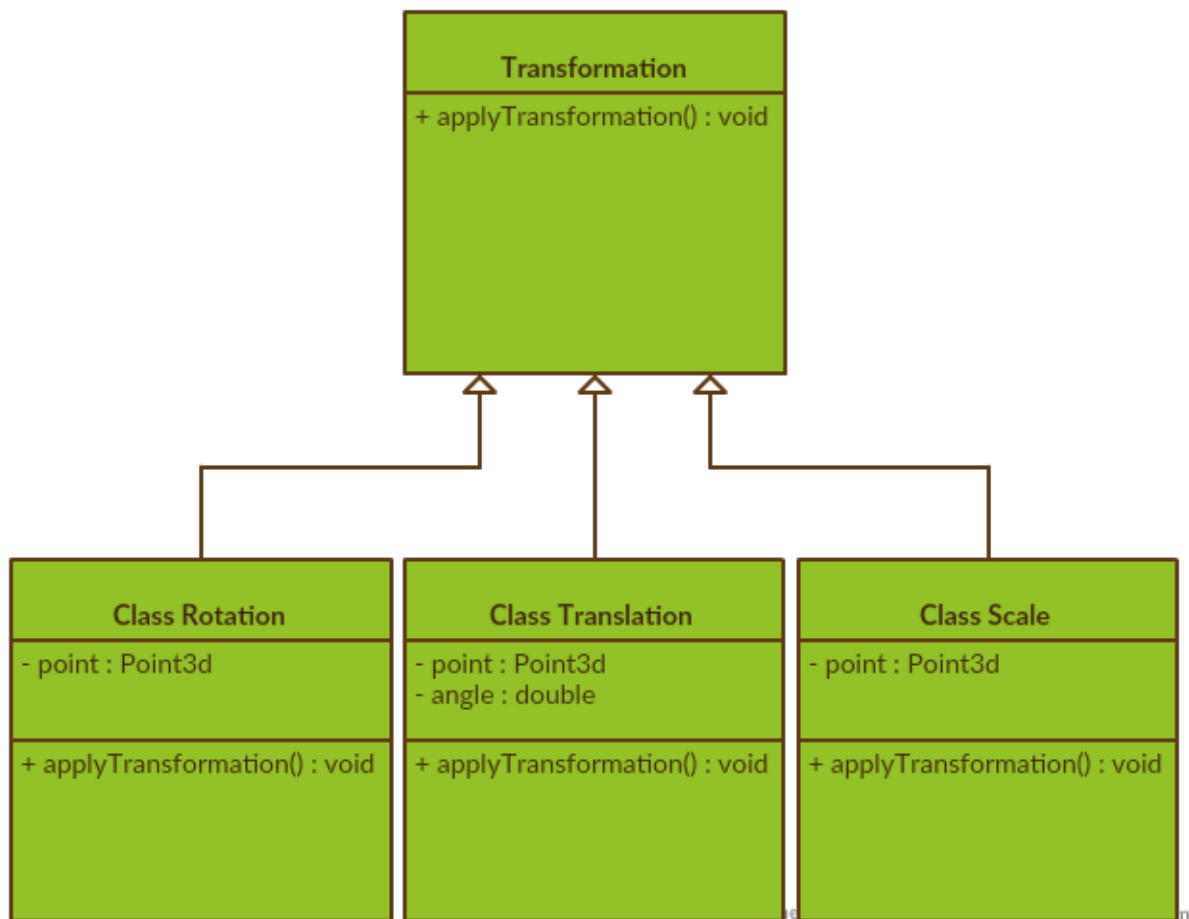


Figura 10: Hieraquia de classes de transformações geométricas



2.2 Descrição do processo de leitura

A função principal de leitura é a que está demonstrada no *Algoritmo 3* e representa parte do processo de leitura, no entanto decidiu-se remover partes acessórias de inicialização de estruturas e afins. Esta função serve-se da estrutura de apontadores da árvore que compõem a estrutura do documento XML para navegar na estrutura recursivamente.

Para além do apontador para a estrutura XML, passou-se por parâmetro um apontador para a estrutura *Modelos*, que contem um apontador para a raiz da árvore *n-ária* e uma tabela (ou mapa) com os valores dos pontos para *rendering* com o nome do ficheiro associado (chave). Note-se que as estruturas em que se guardam valores dos elementos fazem todas parte de um *Group*, tanto como o vetor de *strings* com o valor dos ficheiro, bem como o vetor de transformações e outros *Group* no vetor de grupo, o seu acesso é por um apontador para *Group*, exceto os pares chave/valor guardados numa tabela na estrutura *Modelos*, com o acesso feito a estrutura por apontador para a mesma.

Algoritmo 3 Função Principal Leitura

```
1: procedure READXMLFROMROOTELEMENT(XMLElement * elem, Modelos * models, Group * grupo)
2:   if elem = NULL then
3:     return
4:   for all elem ∈ SIBLINGS do
5:     if elem = TRANSLATION ∨ elems = SCALE then
6:       ▷ os atributos x, y, z são alternativos. Se aparecerem é lhes atribuído um valor. Caso contrário ficam com o valor 0
7:       if elem = TRANSLATION then
8:         Guardar x, y, z numa transformação como translação
9:       else
10:        Guardar x, y, z numa transformação como escala
11:     else if elem = ROTATION then
12:       ▷ os atributos axisx,y,z e angle são alternativos. Se aparecerem é lhes atribuído um valor. Caso contrário ficam com o valor 0
13:       Guardar axisx,y,z e angle numa transformação como rotação
14:     else if elem = MODELS then
15:       for all model ∈ MODELS do
16:         Guardar atributo file no vetor de vector<string> apontado por grupo
17:         Carregar lista de triângulos num map associado a file, apontados por models
18:     else if elem = GROUP then
19:       Criar novo *novo_grupo
20:       READXMLFROMROOTELEMENT(elem, novo_grupo)
```

Como se pode ver no *Algoritmo 3*, as primeiras instruções referem-se ao caso de paragem da função recursiva que verifica se o apontador do elemento, representa é um apontador não nulo. Em caso de nulo, a função retorna para o sítio de onde foi invocada. Em seguida itera-se cada elemento que esteja no mesmo nível da árvore do documento XML. podendo o elemento representar uma rotação, uma escala, uma translação, um modelos ou grupos de modelos, e por fim um grupo.

Com efeito, se o elemento encontrado representar uma escala ou uma translação obtêm-



se os atributos *x*, *y* e *z* e cria-se um apontador, alocando memória para um instância da classe `Translation` ou `Rotation` com esse valores, conforme a sua existência. Note-se que no algoritmo, se descreveu de forma breve como se processa cada atributo, ou seja, cada a existência de cada atributo é verificada, sendo lhe atribuído o valor que figura na *tag* caso exista, ou 0 caso contrário.

Por outro lado, se o elemento XML representar uma rotação, cria-se um apontador alocando memória para um instância da classe `Rotation`, com os valores *axisX*, *axisY*, *axisZ* e *angle*. Uma vez mais, a existência deste atributos é verificada, sendo o valor por defeito 0, o valor contido na *tag*.

Há que fazer notar que, um objeto `Rotation`, `Translation` ou `Scale` são guardados, imediatamente a serem criados, no vetor de `Transformation`, que é a superclasse dos tipos anteriores. O *upcast* é imediato e é uma das características da linguagem e de uma hierarquia de classes.

Se o elemento representar um conjunto de modelos, é efetuada uma navegação por apontador para todos os elementos desse conjunto, obtendo o valor do atributo *file*. Este é guardado no vetor de vetor de *strings* de `Group`. De igual modo, através do valor do ficheiro é feita uma leitura do mesmo, que tem os valores dos pontos dos vértices dos triângulos para *rendering*. Note-se que cada linha do ficheiro representa um triângulo, dado que cada linha tem os valores dos vértices separados por ponto e vírgula, e cada vértice tem as coordenadas *x*, *y* e *z* separadas por vírgula. Após o *parsing* da linha os valores são inseridos em instâncias de objetos `Triangle`, que por sua vez serão adicionados a um vetor. Aqui é verificada a existência do nome do ficheiro no conjunto de chaves da tabela, e inserido o par nome do ficheiro/vetor de triângulos no *map* ou tabela.

Por último, caso seja encontrado um elemento grupo, podem ocorrer uma de duas situações: se o grupo está ao mesmo nível do grupo que antecedeu, ou seja é um elemento *irmão* ou se está dentro de um grupo, isto é, é um *filhos* do grupo anterior. No entanto, note-se que não existe uma verificação dos dois caso no algoritmo, sendo efetuada uma chamada recursiva, com um novo elemento grupo. Para ilustrar o caso, atente-se na *Figura 11*. A primeira invocação deste função, representada pelo algoritmo, é precedida pela inicialização de um `Group`, sendo este passado como parâmetro para esta função. Ou seja é a raiz da árvore de `Group` e não possui quaisquer valores. O primeiro elemento que a função encontra é um grupo, como se pode ver na figura, logo tem que ser inicializado e adicionado à raiz, e apontador deste novo `Group` é passado por parâmetro para a chamada recursiva da função. Dentro da chamada recursiva, vão sendo adicionadas as transformações e modelos e se houver um novo grupo, o processo repete-se. Algo de salientar é que a raiz, não tem transformações nem modelos nos respetivos, nunca, e apenas o vetor com os apontadores para os filhos é que é preenchido. Dado que um elemento com a *tag scene* pode apenas ter grupos e não transformações, assim se justifica a raiz não ter transformações. Para o caso da *Figura 11*, a raiz terá apenas um *filho*, que será o *pai* de todos os outros grupos.

À medida que vão sendo encontrados elementos XML nulos, ou seja, que não há mais

nada no mesmo nível, a função ainda entra na chamada recursiva, mas logo retorna. Para clarificar, o Group para qual foi criada memória, logo antes desta chamada recursiva tem de existir e é uma folha. Além do mais, como demonstra a figura, as sucessivas chamadas recursivas vão retornando e voltando para o sítio onde foram invocadas. Nesta chamadas recursivas, como o apontador para o Group pai permanece localmente nessa função, vão sendo adicionados novos os *irmãos*.

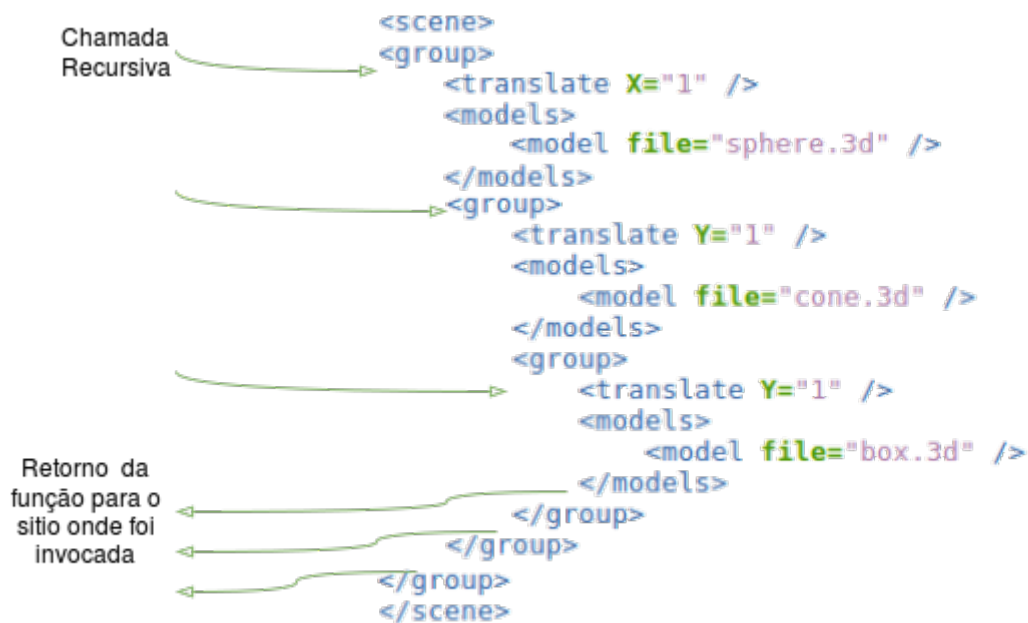


Figura 11: Diagrama representativo da recursividade do processo de leitura



2.3 Descrição do ciclo de *rendering*

Para fazer o *rendering* da estrutura de dados em memória, implementou-se uma função de travessia da árvore, colocada na função `renderScene`, após a função `glLoadIdentity` e `gluLookAt`, nesta sequência. O *Algoritmo 4* representa a função que efetua esta travessia.

Com efeito, a primeira instrução é a `glPushMatrix`, uma vez que se pretende colocar uma matriz para aplicação das transformações no topo da *stack* de matrizes do *OpenGL*. Em seguida, para cada transformação contida num `Group`, é invocada a função `applyTransformation`, já mencionada na *Secção 2.1*, que aplica as transformações conforme o contexto, como já foi explicado.

Em seguida, é invocada a função `drawElement`, descrita no *Algoritmo 5*. Esta função especifica a primitiva para que será criada com os vértices em memória, neste caso com um triplo de vértices. Os vértices estão contidos, em objetos do tipo `Triangle` que por sua vez, contêm objetos do tipo `Point3d` com as coordenadas de cada vértice. Para obter estes vértices e criar a primitiva com `glVertex3f`, é necessário obter todas as *strings* com o nome dos ficheiros no vetor de *string* de cada `Group`. Como cada nome, procura-se pelo nome de ficheiro na tabela a partir do apontador para `Modelos`. Se a entrada existir, obtêm-se todos valores de `Triangle`, respetivos vértices e coordenadas.

No seguimento desta instrução existe um ciclo para aceder a elementos do vetor de apontadores pelo índice para `Group`. Cada elemento (apontador para `Group`) em determinada posição do *array* é passado por argumento para a chamada recursiva da função. Quando o chamada recursiva retorna, o índice é incrementado e o processo repete-se. A função termina quando não houver mais elementos no vetor. Ou seja, o índice é incrementando à medida que a chamadas recursivas entram na memória automática (*stack*) e retornam, saindo da *stack*.

Por último, note-se que a `glPopMatrix` é executada logo após o retorno da chamada recursiva. Uma vez que as transformações sejam herdadas é necessário colocar matrizes na *stack* de matrizes do *OpenGL*, conforme se vai descendo na árvore. Quando a função faz o *pop* à *stack* de matrizes, faz-lo na mesma chamada recursiva da função.



Algoritmo 4 Função de travessia da árvore de Group

```
1: procedure TRAVERSE TREE(Modelos * models, Group * grupo)
2:   GLPUSHMATRIX( )
3:   for all transformation  $\in$  grupo  $\rightarrow$  TRANSFORMATIONS do
4:     transformation  $\rightarrow$  APPLYTRANSFORMATION()
5:   DRAWELEMENT(models, grupo)
6:    $i \leftarrow 0$ 
7:   while  $i <$  tamanho do array grupo  $\rightarrow$  FILHOS do
8:     TRAVERSE TREE(models, grupo  $\rightarrow$  FILHOS $i$ )
9:     GLPOPMATRIX( )
10:     $i \leftarrow i = i + 1$ 
```

Algoritmo 5 Função de *rendering* dos pontos

```
1: procedure DRAWELEMENT(Modelos * models, Group * grupo)
2:   GLBEGIN(GL_TRIANGLES)
3:   for all String  $\in$  vetor de strings pontado por grupo do
4:     Procurar entry com a string (nome do ficheiro), no map apontado por models
5:     if entry existe then
6:       for all Triângulo ABC  $\in$  valores (vetor de triângulos) associado à chave do
7:         Obter vértices do triângulo ABC
8:         GLVERTEX3F( $x_A$ ,  $y_A$ ,  $z_A$ )
9:         GLVERTEX3F( $x_B$ ,  $y_B$ ,  $z_B$ )
10:        GLVERTEX3F( $x_C$ ,  $y_C$ ,  $z_C$ )
11:   GLEND( )
```



3 Resultados

Para criar o modelo do sistema solar tomaram-se algumas liberdades em relação à distância dos planetas ao Sol, e como tal os valores das translações são mais ou menos obtidos por experimentação. Não obstante, os planetas estão colocados sobre o eixo dos xx . Para as órbitas, teve-se que ter em conta o raio interior do anel (como o anel é bastante fino, é redundante calcular o valor médio), e fazer uma escala ao anéis, é preciso dividir a distância à origem, pelo valor do raio interior do anel. As rotações tiveram como base valores reais, sendo o eixo de rotação o vetor $(0,0,1)$.

Os resultados obtidos estão nas imagens seguintes.

A *Figura 12* mostra o grupo de planetas terrestres e lua da Terra.

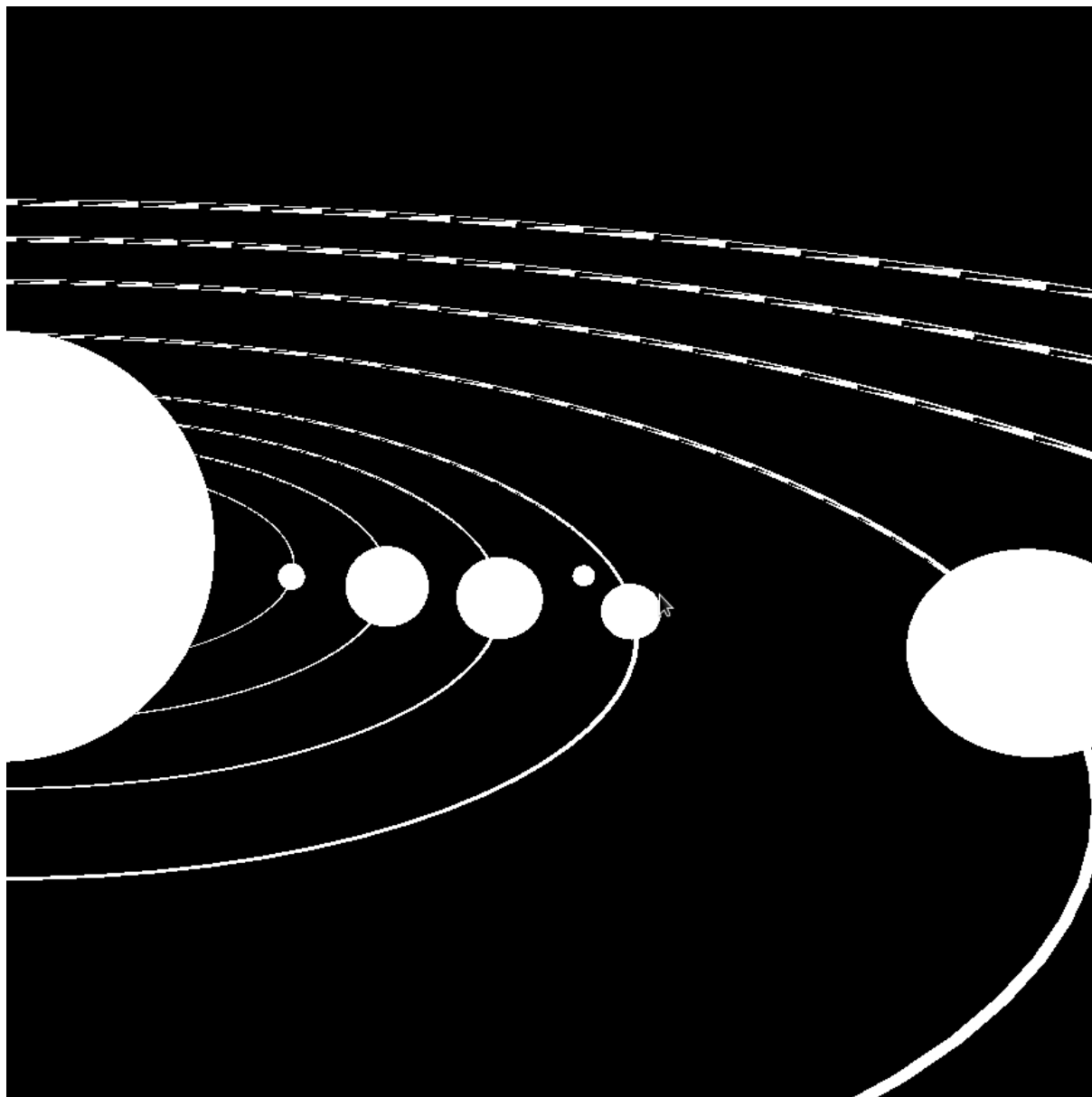


Figura 12: *Rendering* do modelo com foco do grupo de planetas terrestres e Lua

A Figura 13 mostra Urano e Neptuno, com o *tilt* axial aplicado.

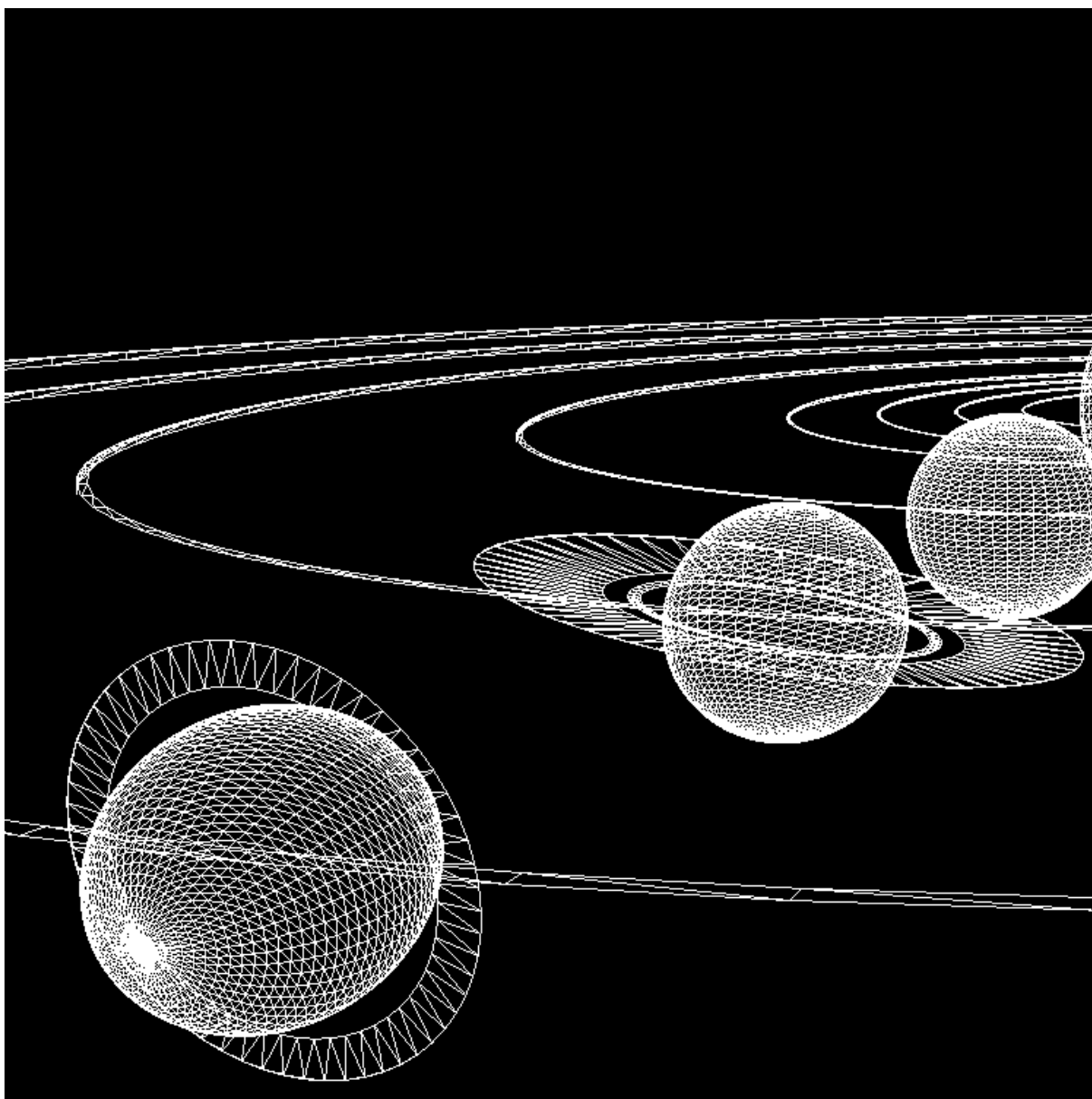


Figura 13: *Rendering* do modelo com foco no *tilt* axial de Urano e Neptuno

A Figura 14 mostra o modelo completo.

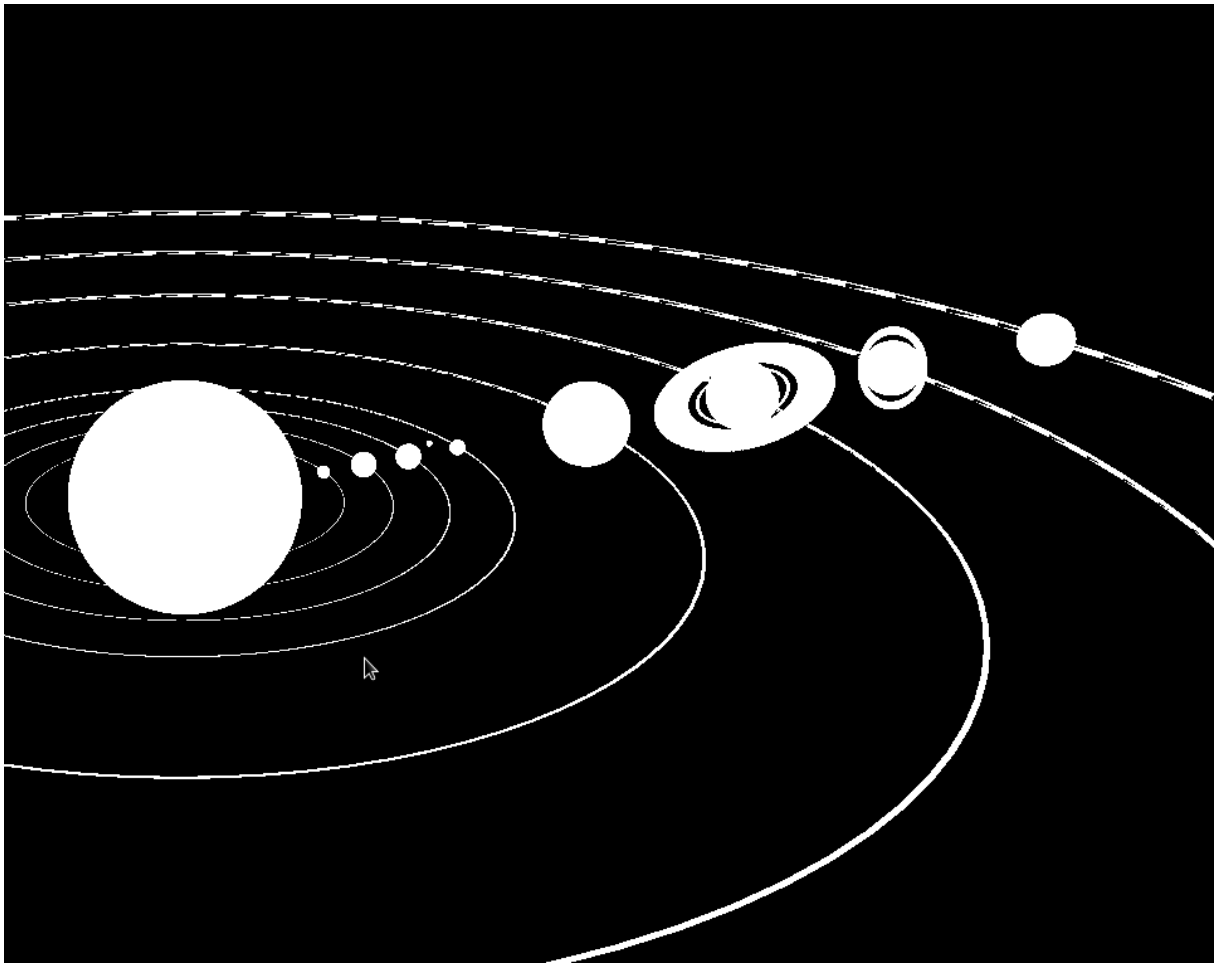


Figura 14: *Rendering* do modelo final

4 Bezier

Uma curva bezier pode ser definida por um qualquer numero de pontos, pontos estes chamados pontos de controlo da curva. Transformações como translação e rotação podem ser aplicadas na curva manipulando estes pontos.

O algortimo de Casteljau oferece uma construção geométrica de onde se pode dividir uma curva de Bezier em duas curvas Bezier num parâmetro arbitrário t $[0,1]$. Como se pode observar:

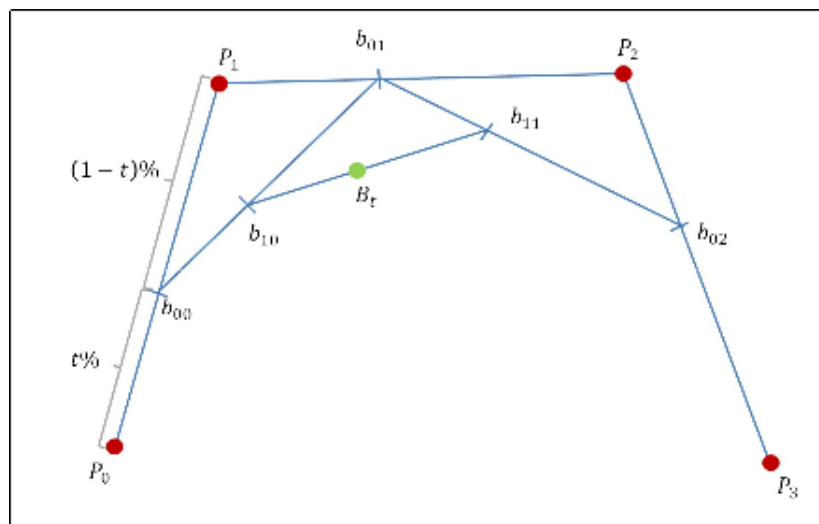


Figura 15: Algoritmo geométrico casteljau.png

Fazendo os cálculos manualmente

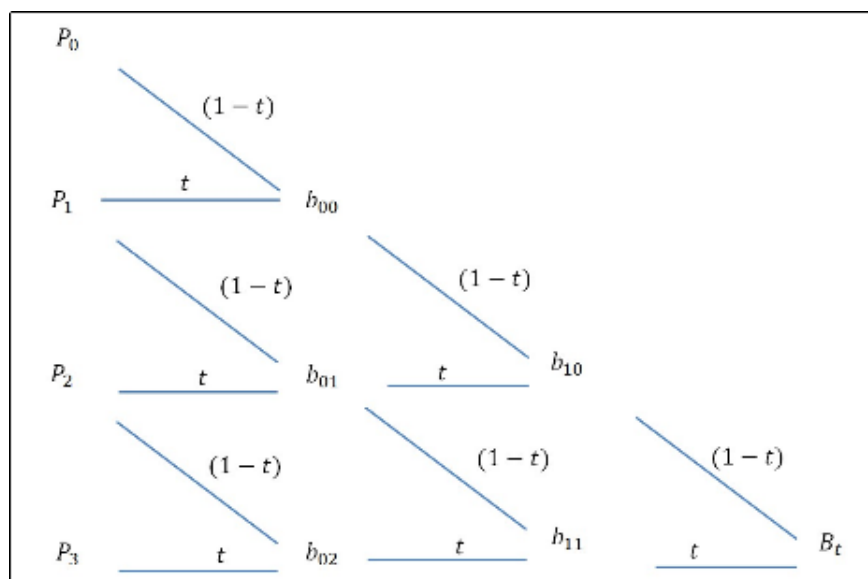


Figura 16: Representação da árvore casteljeau

Para demonstrar estas transformações segue-se o exemplo de uma curva de bezier cúbica, isto é, uma curva definida por 4 pontos de controlo:

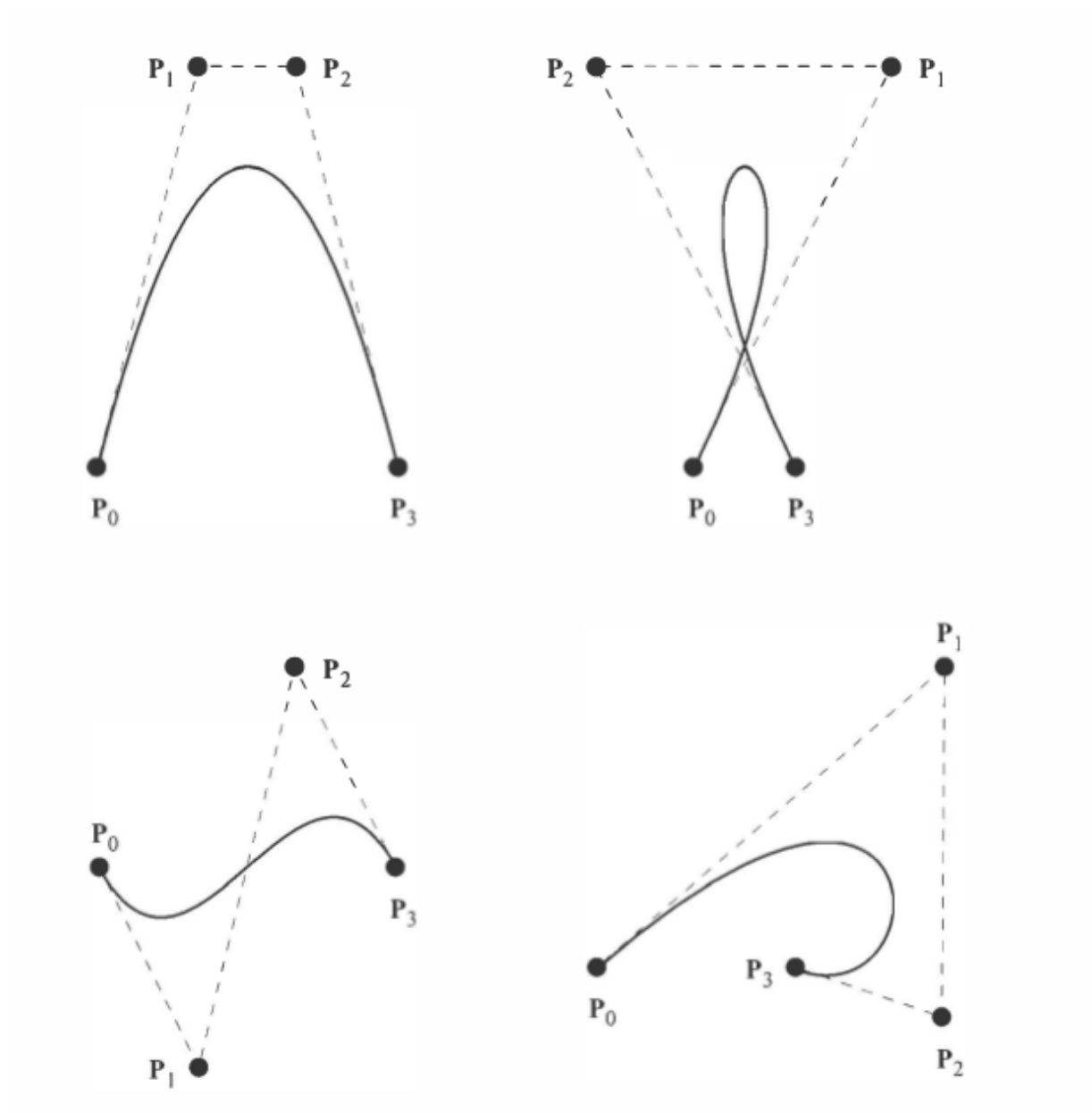


Figura 17: Curvas exemplo de Bezier

Como se pode observar cada uma das curvas observadas possui 4 pontos de controlo, P_0 , P_1 , P_2 e P_3 . A figura demonstra alguma das formas que uma curva de Bezier pode tomar. As curvas de Bezier, independentemente do número de pontos de controlo que possam ter, são sempre definidas pela seguinte fórmula:

$$B(t) = \sum_{k=0}^n B_{n,k}(t) P_k \quad (3)$$



onde n corresponde a $(n^\circ \text{ pontos de controlo} - 1)$, e t é o polinómio Bernstein que tem sempre um valor positivo em $[0,1]$ e o seu somatório é sempre igual a 1.

Com 4 pontos de controlo, uma curva de Bezier diz-se cúbica e pode ser definida pela seguinte formula:

$$B(t) = \sum_{k=0}^3 B_{3,k}(t)P_k \quad (4)$$

$$B(t) = t^3 P_3 + 3t^2(1-t)P_2 + 3t(1-t)^2 P_1 + (1-t)^3 P_0 \quad (5)$$

Onde, após cálculos se chegará a:

$$B(t) = \begin{bmatrix} t^3 & t^2 & t & 1 \end{bmatrix} \begin{bmatrix} -1 & 3 & -3 & 1 \\ 3 & -6 & 3 & 0 \\ -3 & 3 & 0 & 0 \\ 1 & 0 & 0 & 0 \end{bmatrix} \begin{bmatrix} P_0 \\ P_1 \\ P_2 \\ P_3 \end{bmatrix}$$

Quanto maior o número de pontos de controlo maior o custo computacional de as representar.

Bezier Patches/superfície:

Se se tiver um 2D-array de pontos $P_{i,j}, i=0, \dots, m, j=0, \dots, n$, então pode-se construir uma superfície bezier da mesma forma que se constrói uma curva Bezier. Da mesma maneira que nas curvas Bezier, a mais importante e mais usada é a superfície de Bezier bicúbica ($m=n=3$) onde é definida por 16 pontos de controlo $P_{i,j}$ e pode ser escrita da seguinte forma:

$$B(u, v) = \sum_{j=0}^3 \sum_{i=0}^3 B_i(u)P_{i,j}B_j(v) \quad (6)$$

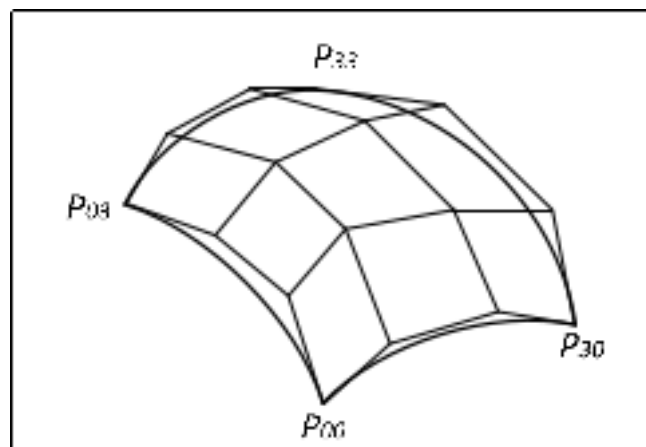


Figura 18: Superfície de Bezier bicúbica



Sendo $U = \begin{bmatrix} u^3 & u^2 & u & 1 \end{bmatrix}$

$$\text{e } M = \begin{bmatrix} -1 & 3 & -3 & 1 \\ 3 & -6 & 3 & 0 \\ -3 & 3 & 0 & 0 \\ 1 & 0 & 0 & 0 \end{bmatrix}$$

Com que foi previamente explicado relativamente às curvas de Bezier, conclui-se que o método de construção de uma superfície Bezier corresponde a um conjunto de curvas de Bezier conjuntas. Então:

$$B(u,v) = \begin{bmatrix} u^3 & u^2 & u & 1 \end{bmatrix} M \begin{bmatrix} P_{00} & P_{01} & P_{02} & P_{03} \\ P_{10} & P_{11} & P_{12} & P_{13} \\ P_{20} & P_{21} & P_{22} & P_{23} \\ P_{30} & P_{31} & P_{32} & P_{33} \end{bmatrix} M^T \begin{bmatrix} v^3 \\ v^2 \\ v^1 \\ v^0 \end{bmatrix}$$

Este método exato irá ser aplicado mais tarde nos algoritmos.



5 Splines Catmull-Rom

A curva de splines Catmull-Rom para dados pontos de controlo P_0, P_1, P_2, P_3 , está definida de modo a que a tangente em cada ponto P_i possa ser encontrada através da diferença entre os seus pontos vizinhos P_{i-1} e P_{i+1}

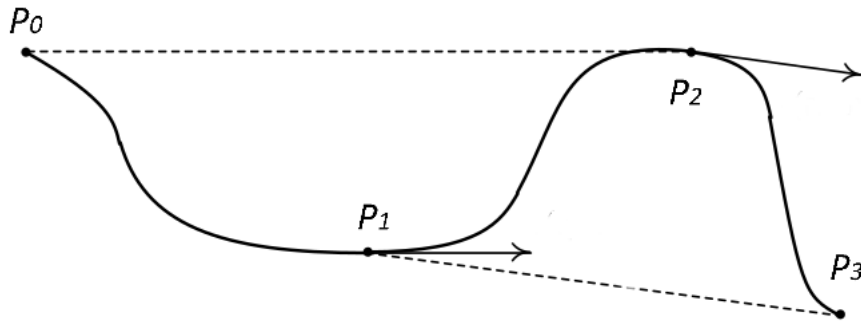


Figura 19: Spline Catmull-Rom para os pontos P_0, P_1, P_2, P_3

Esta curva spline pode ser escrita em forma de matriz:

$$\begin{aligned} \frac{P_2 - P_0}{2} &= P'_1 = P'(0) = c \\ P_1 &= P(0) = d \\ P_2 &= P(1) = a + b + c + d \\ \frac{P_3 - P_1}{2} &= P'_2 = P'(1) = 3a + 2b + c \end{aligned} \quad (7)$$

o que é equivalente a:

$$\begin{aligned} P_0 &= a + b - c + d \\ P_1 &= P_0 = d \\ P_2 &= P(1) = a + b + c + d \\ P_3 &= 6a + 4b + 2c + 1 \end{aligned} \quad (8)$$

este conjunto de equações pode-se representar na seguinte operação de matrizes:

$$P = \begin{bmatrix} P_0 \\ P_1 \\ P_2 \\ P_3 \end{bmatrix} = \begin{bmatrix} 1 & 1 & -1 & 1 \\ 0 & 0 & 0 & 1 \\ 1 & 1 & 1 & 1 \\ 6 & 4 & 2 & 1 \end{bmatrix} \begin{bmatrix} a_x & a_y & a_z \\ b_x & b_y & b_z \\ c_x & c_y & c_z \\ d_x & d_y & d_z \end{bmatrix} = C * A$$



Estes cálculos até agora demonstrados irão ser aplicados algoritmicamente no programa da seguinte maneira:

$$\begin{bmatrix} x(u) & y(u) & z(u) \end{bmatrix} = \begin{bmatrix} t^3 & t^2 & t & 1 \end{bmatrix} \begin{bmatrix} -0.5 & 1.5 & -1.5 & 0.5 \\ 1 & -2.5 & 2 & -0.5 \\ -0.5 & 0 & 0.5 & 0 \\ 0 & 1 & 0 & 0 \end{bmatrix} \begin{bmatrix} P_0 \\ P_1 \\ P_2 \\ P_3 \end{bmatrix}$$



Conclusão

Em suma, pode-se afirmar que a maioria dos objetivos foram cumpridos, ou seja existe um modelo do sistema solar que pode ser *renderizado* com primitivas gráficas personalizadas, a partir da leitura de um ficheiro XML, cujo os dados são carregados numa estrutura em memória. Além do mais, existe a possibilidade de aplicar transformações a essa primitiva, tais como rotações, translações e escalas.

Com efeito, na primeira secção, relativa ao programa `Generator` que calcula os vértices de triângulos, foram implementadas duas funções para desenhar esferas e discos com determinada espessura, para serem utilizados na construção do sistema solar. Adicionalmente, nesta secção são apresentados os algoritmos para o cálculos dos vértices, bem como diagramas explicativos, como também resultados da implementação desse algoritmos, e por último, fórmulas.

Na segunda secção, relativa ao programa `Engine`, que *renderiza* os vértices guardados em ficheiros, foram implementadas rotinas para a leitura de dados, sendo, este processo, feito apenas uma vez, guardando os dados lidos em estruturas de dados adequadas. De igual modo criou-se um algoritmo para iteração nessas estruturas de dados, durante o processo de *rendering*. À semelhança, com a secção anterior, esta secção apresenta resultados, algoritmos e diagramas.

No entanto ficaram duas coisas por fazer: otimização da função de leitura (*parsing* de linhas), uma vez que este processo tem várias iterações em cada resultado da linha obtida, e a implementação da câmara em primeira pessoa não foi possível, uma vez que, não houve tempo para amadurecer conhecimentos.



Referências

- [1] A. Boreskov and E. Shikin, *Computer Graphics: From Pixels to Programmable Graphics Hardware*, 2013.
- [2] F. Dunn and I. Parberry, *3D Math Primer for Graphics and Game Development*, 2nd ed. Wordware Pub, 2002.
- [3] B. Eckel, *Thinking in C++*. Prentice Hall, 2000.
- [4] —, *Thinking in C++*. Prentice Hall, 2000.
- [5] A. Koenig and B. E. Moo, *Accelerated C++ : Practical Programming by Example*. Addison-Wesley, 2000.
- [6] E. Lengyel, *Mathematics for 3D Game Programming and Computer Graphics*, 3rd ed. Course Technology PTR, 2012.
- [7] S. B. Lippman, J. Lajoie, and B. E. Moo, *C++ Primer*, 5th ed. Addison-Wesley, 2013.
- [8] A. Ramires, “GLUT Tutorial,” 2011. [Online]. Available: <http://www.lighthouse3d.com/tutorials/glut-tutorial/>
- [9] P. Shirley and S. Marschner, *Fundamentals of Computer Graphics*. CRC Press, 2015.
- [10] D. Shreiner and Khronos OpenGL ARB Working Group., *OpenGL Programming Guide : The Official Guide to Learning OpenGL, Versions 3.0 and 3.1*, 7th ed. Addison-Wesley, 2010.
- [11] B. Stroustrup, *A Tour Of C++*. Addison-Wesley, 2014.



ANEXOS

A Modelo do Sistema Solar

```
<?xml version="1.0"?>
<scene>
  <!-- Sun -->
  <group>
    <rotate angle="7.25" axisZ="1"/>
    <scale X="17" Y="17" Z="17"/>
    <models>
      <model file="sphere.3d"/>
    </models>
  </group>
  <!-- Mercury -->
  <group>
    <translate X="23"/>
    <rotate angle="0.03" axisZ="1"/>
    <models>
      <model file="sphere.3d"/>
    </models>
  </group>
  <group>
    <scale X="15.33" Y="15.33" Z="15.33"/>
    <models>
      <model file="orbit.3d"/>
    </models>
  </group>
  <!-- Venus -->
  <group>
    <translate X="30"/>
    <scale X="2" Y="2" Z="2"/>
    <rotate angle="2.64" axisZ="1"/>
    <models>
      <model file="sphere.3d"/>
    </models>
  </group>
  <group>
    <scale X="20" Y="20" Z="20"/>
    <models>
      <model file="orbit.3d"/>
    </models>
  </group>
  <!-- Earth -->
  <group>
    <translate X="38"/>
    <scale X="2" Y="2" Z="2"/>
    <rotate angle="23.44" axisZ="1"/>
    <models>
      <model file="sphere.3d"/>
    </models>
  </group>
</scene>
```



```
</models>
<!-- Moon -->
<group>
  <translate X="2"/>
  <scale X="0.25" Y="0.25" Z="0.25"/>
  <rotate angle="6.68" axisX="1"/>
  <models>
    <model file="sphere.3d"/>
  </models>
</group>
</group>
<group>
  <scale X="25.33" Y="25.33" Z="25.33"/>
  <models>
    <model file="orbit.3d"/>
  </models>
</group>
<!-- Mars -->
<group>
  <translate X="47"/>
  <scale X="1.25" Y="1.25" Z="1.25"/>
  <rotate angle="25.19" axisZ="1"/>
  <models>
    <model file="sphere.3d"/>
  </models>
</group>
<group>
  <scale X="31.33" Y="31.33" Z="31.33"/>
  <models>
    <model file="orbit.3d"/>
  </models>
</group>
<!-- Jupiter -->
<group>
  <scale X="48" Y="48" Z="48"/>
  <models>
    <model file="orbit.3d"/>
  </models>
</group>
<group>
  <translate X="72"/>
  <scale X="7" Y="7" Z="7"/>
  <rotate angle="3.13" axisZ="1"/>
  <models>
    <model file="sphere.3d"/>
  </models>
</group>
<!-- Saturn -->
<group>
  <scale X="70" Y="70" Z="70"/>
  <models>
    <model file="orbit.3d"/>
  </models>
</group>
```



```
</group>
<group>
  <translate X="105"/>
  <scale X="6" Y="6" Z="6"/>
  <rotate angle="26.63" axisZ="1"/>
  <models>
    <model file="sphere.3d"/>
    <model file="ring.3d"/>
    <model file="ring3.3d"/>
  </models>
</group>
<!-- Uranus -->
<group>
  <scale X="93.33" Y="93.33" Z="93.33"/>
  <models>
    <model file="orbit.3d"/>
  </models>
</group>
<group>
  <translate X="140"/>
  <scale X="5" Y="5" Z="5"/>
  <rotate angle="82.23" axisZ="1"/>
  <models>
    <model file="sphere.3d"/>
    <model file="ring2.3d"/>
  </models>
</group>
<!-- Neptune -->
<group>
  <scale X="120" Y="120" Z="120"/>
  <models>
    <model file="orbit.3d"/>
  </models>
</group>
<group>
  <translate X="180"/>
  <scale X="5" Y="5" Z="5"/>
  <rotate angle="28.32" axisZ="1"/>
  <models>
    <model file="sphere.3d"/>
  </models>
</group>
</scene>
```

Listing 1: Código XML com parâmetros para o sistema solar